

УДК 533.16

ВЯЗКОСТЬ УМЕРЕННО СЖАТЫХ ГАЗОВ И ИХ БИНАРНЫХ СМЕСЕЙ

B. P. Каменецкий (Одесса)

На основе эффективной потенциальной функции межмолекулярного взаимодействия получена температурная зависимость первой поправки на плотность к коэффициенту вязкости чистых газов.

Показана универсальность этой зависимости и возможность ее использования для вычисления коэффициента вязкости умеренно сжатых газов и их бинарных смесей.

Коэффициент вязкости сжатого газа может быть выражен в виде разложения по степеням плотности

$$(1) \quad \eta = \eta_0 (1 + \alpha \rho + \dots)$$

коэффициенты которого являются функциями температуры и учитывают вклады многочастичных столкновений.

В области умеренных плотностей можно ограничиться линейной частью уравнения (1), где $\alpha = \eta_0^{-1} (\partial \eta / \partial \rho)_{\rho=0}$ — коэффициент, учитывающий вклад тройных столкновений (первая поправка на плотность).

Для веществ со сферически-симметричным характером межмолекулярного взаимодействия эта величина в безразмерной форме $\alpha^* = \alpha / b_0$ должна быть универсальной функцией приведенной температуры $T^* = kT / \epsilon$ ($b_0 = 2/3\pi N \sigma^3$, σ и ϵ — параметры потенциала (12—6) Леннарда — Джонса). Это подтверждается экспериментальными данными по одноатомным газам и азоту [1].

В [2, 3] показано, что можно рассматривать межмолекулярное взаимодействие в любом газе как сферически-симметричное, если использовать эффективную потенциальную функцию, представляющую собой потенциал (12—6) с зависящими от температуры параметрами $\sigma(T)$ и $\epsilon(T)$.

Температурная зависимость этого потенциала появляется в результате усреднения энергии взаимодействия по всем возможным взаимным ориентациям взаимодействующих молекул [4].

Поскольку указанная функция может описывать как равновесные, так и неравновесные свойства, здесь использован метод определения потенциальных параметров $\sigma(T)$ и $\epsilon(T)$ из данных по второму вириальному коэффициенту и коэффициенту вязкости разреженного газа.

Из выражений

$$(2) \quad B = b_0 B^*$$

$$(3) \quad \eta_0 = 266.93 \frac{\sqrt{MT}}{\sigma^2 \Omega^{(2.2)*}}$$

где B^* и $\Omega^{(2.2)*}$ — приведенные второй вириальный коэффициент и интеграл столкновений соответственно, можно получить зависимость

$$(4) \quad \eta_0 B^{2/3} / 311.64 \sqrt{MT} = B^{2/3} / \Omega^{(2.2)*} = \psi^*(T^*)$$

Конкретный вид зависимости (4) определяется с помощью табулированных в [4] для потенциала (12—6) значений B^* и $\Omega^{(2.2)*}$. Располагая данными по η_0 и B , можно по уравнению (4) вычислить ψ^* и с помощью специально построенного графика зависимости T^* от ψ^* найти значение приведенной температуры. После этого определяется параметр $\epsilon/k = T/T^*$. Соответствующее значение параметра σ находится из (2) либо из (3). Определенные описанным способом потенциальные параметры веществ сложного молекулярного строения (особенно полярных) явно зависят от температуры.

Значения σ и ϵ простых газов (одноатомные, азот, водород, дейтерий) оказываются практически постоянными, что согласуется с существующими представлениями о характере межмолекулярного взаимодействия в этих газах.

Значения σ и ϵ простых газов приведены в табл. 1, а газов со сложным характером межмолекулярного взаимодействия — в табл. 2.

Экспериментальные данные по вязкости перечисленных в табл. 1 и 2 веществ и полученные потенциальные параметры были использованы для вычисления значений α^* .

Источники этих данных, а также охватываемые диапазоны приведенных температур указаны в табл. 3.

Зависимость α^* от T^* для различных газов, полученная из экспериментальных данных, представлена на фигуре (1 — He, 2 — Ne, 3 — Kr, 4 — Xe, 5 — Ar, 6 — H₂, 7 — D₂, 8 — N₂, 9 — CO, 10 — CO₂, 11 — CH₄, 12 — NH₃, 13 — H₂O).

Аналитически эта зависимость описывается аппроксимирующим выражением, полученным методом наименьших квадратов

$$(5) \quad \alpha^* = -0.151955 + 2.541259 T^{*-1} - 3.108299 T^{*-2} + 0.527637 T^{*-3} + \\ + 0.507413 T^{*-4} - 0.230422 T^{*-5}$$

Разброс точек около кривой, построенной с помощью (5), как правило, соответствует допускам к значениям α , оцененным авторами экспериментальных данных.

Проведенное исследование позволяет прийти к выводу о том, что температурная зависимость первой поправки на плотность к коэффициенту вязкости является универсальной, поскольку она оказывается справедливой для веществ различной природы.

Понятие об аномальной зависимости коэффициента вязкости водяного пара и амиака от давления неверно. Вероятно, и другие полярные вещества, например спирты, характеризуются отрицательным влиянием давления на коэффициент вязкости в области приведенных температур $T^* < 1.0$. Это предположение требует экспериментального подтверждения с помощью прецизионных измерений вязкости газообразных спиртов при умеренных давлениях.

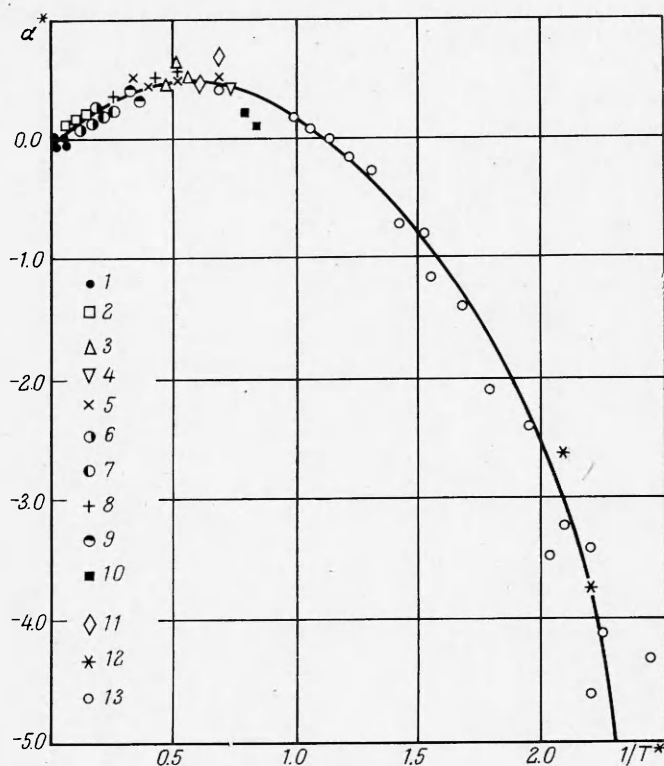
Полученная универсальная зависимость может быть использована и для вычисления коэффициента вязкости умеренно сжатых газовых смесей.

Проведенный анализ показал, что первая поправка на плотность для бинарной смеси может быть выражена по аналогии со вторым вириальным коэффициентом в виде

$$(6) \quad \alpha_m = \alpha_i x_i^2 + 2\alpha_{ij} x_i x_j + \alpha_j x_j^2$$

Таблица 1

Газ	$\sigma, \text{ \AA}$	$\epsilon/k, ^\circ\text{K}$
Ar	3.428	120.02
Kr	3.965	165.5
Xe	4.073	224.1
Ne	2.776	37.18
He	2.620	7.740
N ₂	3.664	95.92
H ₂	2.947	32.02
D ₂	2.949	34.17



Член α_{ij} , учитывающий разнородные взаимодействия, определяется с помощью правил комбинирования

$$(7) \quad \sigma_{ij} = 1/2 (\sigma_i + \sigma_j)$$

$$(8) \quad \epsilon_{ij} = (\epsilon_i \epsilon_j)^{1/2}$$

$$(9) \quad \alpha_{ij} = 2/3 \pi N \sigma_{ij}^3 \alpha_{ij}^*$$

Таблица 2

Газ	$t, ^\circ\text{C}$	$\sigma, \text{\AA}$	$\epsilon/k, ^\circ\text{K}$
CO	-50	3.626	102.5
	0	3.638	101.3
	75	3.650	99.7
CH ₄	-50	3.744	154.5
	0	3.767	152.2
	150	3.770	149.2
CO ₂	20	3.757	248.5
	31	3.771	245.3
NH ₃	20	2.818	651.4
	30	2.827	636.9
H ₂ O	150	2.604	996.1
	300	2.660	830.4
	400	2.722	710.5

Таблица 3

Газ	T^*	Источник экспериментальных данных
Ar	1.44—2.90	[5—11]
Kr	1.77—2.10	[7, 12]
Xe	1.33	[7]
Ne	6.0—10.0	[7—9, 13]
He	28.8—48.2	[5—7, 9]
N ₂	1.91—3.89	[5—9]
H ₂	5.40—13.21	[5, 14, 15]
D ₂	6.53—12.38	[14]
CO	2.18—3.49	[14]
CH ₄	1.44—2.84	[14]
CO ₂	1.18—1.24	[16]
NH ₃	0.45—0.48	[17]
H ₂ O	0.40—1.0	[18—21]

Величина α_{ij}^* также является универсальной функцией приведенной температуры и вычисляется с помощью уравнения (5).

Такой подход позволяет с достаточной точностью получать значения α_m по данным для чистых компонент, не привлекая экспериментальные данные по вязкости смеси при повышенных давлениях.

Сказанное иллюстрируется табл. 4, в которой сопоставлены расчетные $\alpha_m^{(1)}$ и экспериментальные $\alpha_m^{(2)}$ значения первой поправки на плотность ($\text{см}^3/\text{моль}$) для смесей He—CO₂, Ne—CO₂, Ne—Ar, Ne—N₂, N₂—Ar и Ne—He при $t = 20^\circ\text{C}$.

Таблица 4

Смесь	$\sigma_{12}, \text{\AA}$	$(\epsilon/k)_{12}, ^\circ\text{K}$	x_1	x_2	$\alpha_m^{(1)}$	$\alpha_m^{(2)}$	Источник экспериментальных данных
He—CO ₂	3.188	43.85	0.1374	0.8626	8.700	8.740	[22]
			0.4905	0.5095	7.094	7.683	
			0.9586	0.0414	2.576	2.732	
Ne—CO ₂	3.266	43.95	0.2062	0.7938	8.68	9.02	[23]
			0.4350	0.5650	10.23	10.61	
			0.6203	0.3797	10.59	10.71	
Ne—Ar	3.102	66.80	0.7103	0.2897	10.45	10.48	[24]
			0.8762	0.1238	9.67	9.57	
			0.598	0.402	9.83	6.10	
Ne—N ₂	3.220	59.72	0.332	0.668	13.87	11.95	[22]
			0.099	0.901	17.26	16.05	
			0.2661	0.7339	15.73	15.44	
N ₂ —Ar	3.546	107.2	0.5112	0.4888	12.53	11.03	[22]
			0.7521	0.2479	9.78	7.55	
			0.4990	0.8010	23.48	23.44	
Ne—He	2.698	16.96	0.3862	0.6138	22.82	22.62	[24]
			0.5946	0.4054	22.27	22.09	
			0.7737	0.2263	21.95	21.64	
			0.741	0.259	1.814	2.170	
			0.567	0.433	0.977	1.383	
			0.350	0.650	0.170	0.305	
			0.154	0.846	-0.331	-0.279	
			0.051	0.949	-0.509	-0.651	

Расхождения между вычисленными и экспериментальными данными невелики и соизмеримы с погрешностью значений α чистых компонент определяемых из опытных данных по вязкости.

Поступила 5 VI 1973

ЛИТЕРАТУРА

1. Kestin J., Ro S. T., Wakeham W. An extended law of corresponding states for the equilibrium and transport properties of the noble gases. *Physica*, 1972, vol. 58, No. 2.
2. Кессельман П. М. К вопросу расчета теплофизических свойств реальных газов при высоких температурах. *Теплофизика высоких температур*, 1964, т. 2, № 6.
3. Кессельман П. М., Каменецкий В. Р. Коэффициент вязкости сжатого газа и его связь с термическими свойствами. В сб. «Тепло- и массоперенос», т. 7. Минск, «Наука и техника», 1968.
4. Гиришфельдер Дж., Кертисс Ч., Берд Р. Молекулярная теория газов и жидкостей. М., Изд-во иностр. лит., 1961.
5. Gracki I. A., Flynn G. P., Ross J. Viscosity of nitrogen, helium, hydrogen and argon from -100 to 25°C up to 150 – 200 atm. *J. Chem. Phys.*, 1969, vol. 51, No. 9.
6. Kestin J., Paykoc E., Sengers J. V. On the density expansion for viscosity in gases. *Physica*, 1971, vol. 54, No. 1.
7. Kestin J., Leidenfrost W. An absolute determination of the viscosity of eleven gases over a range of pressures. *Physica*, 1959, vol. 25, No. 11.
8. Gibson R. O. The viscosity of gases at high pressures. Dissertation. Amsterdam, 1933.
9. Flynn G. P., Hanks R. V., Lemaire N. A., Ross J. Viscosity of nitrogen, helium, neon and argon from -78.5°C to 100°C below 200 atmospheres. *J. Chem. Phys.*, 1963, vol. 38, No. 1.
10. Kestin J., Wang H. E. The viscosity of five gases: a re-evaluation. *Trans. ASME*, 1958, vol. 80, No. 1.
11. Michels A., Botzen A., Schnurman W. The viscosity of argon at pressures up to 2000 atmospheres. *Physica*, 1954, vol. 20, No. 12.
12. Trappeniers N. J., Botzen A., Oosten J., Van Berg H. R. van den. The viscosity of crypton between 25°C and 75°C and at pressures up to 2000 atm. *Physica*, 1965, vol. 31, No. 6.
13. Trappeniers N. J., Botzen A., Berg H. R. van den, Oosten J. van. The viscosity of neon between 25°C and 75°C at pressures up to 1800 atmospheres. *Physica*, 1964, vol. 30, No. 5.
14. Barua A. R., Afzal M., Flynn G. P., Ross J. Viscosity of hydrogen, deuterium, methane and carbon monoxide from -50° to 150°C below 200 atmospheres. *J. Chem. Phys.*, 1964, vol. 41, No. 2.
15. Michels A., Schipper A. C., Rintoul W. H. The viscosity of hydrogen and deuterium at pressures up to 2000 atmospheres. *Physica*, 1953, vol. 19, No. 10.
16. Kestin J., Kobayashi J., Wood R. T. The viscosity of four binary, gaseous mixtures at 200°C and 30°C . *Physica*, 1966, vol. 32, No. 6.
17. Iwasaki H., Kestin J., Nagashima A. Viscosity of argon-ammonia mixtures. *J. Chem. Phys.*, 1964, vol. 40, No. 10.
18. Kestin J., Wang H. E. The viscosity of superheated steam up to 170°C . *Physica*, 1960, vol. 26, No. 80.
19. Kestin J., Richardson P. D. The viscosity of superheated steam up to 275°C . Brown. Univ., Providence, 1962.
20. Ривкин С. Л., Левин А. Я. Экспериментальное исследование вязкости воды и водяного пара. *Теплоэнергетика*, 1966, № 4.
21. Ривкин С. Л., Левин А. Я., Израилевский Л. Б. Экспериментальное исследование вязкости водяного пара при температурах до 450°C и давлениях до 350 бар. *Теплоэнергетика*, 1968, № 12.
22. Di Pippo R., Kestin J., Oguchi K. Viscosity of three binary gaseous mixtures. *J. Chem. Phys.*, 1967, vol. 46, No. 12.
23. Breetveld J. Di, Pippo R., Kestin J. Viscosity and binary diffusion coefficient of neon-carbon dioxide mixtures at 20° and 30°C . *J. Chem. Phys.*, 1966, vol. 45, No. 1.
24. Kestin J., Nagashima A. Viscosity of neon-helium and neon-argon mixtures at 20° and 30°C . *J. Chem. Phys.*, 1964, vol. 40, No. 12.